



## مقاله پژوهشی

# اثرات ضد توموری ترکیبی از اسانس سیلیبیوم مارانوم و ۵-فلورویوراسیل بر سلول‌های کبدی (HepG2)

محمد جابر مسعود خوی<sup>۱</sup>، محمد رضا صالحی سلمی<sup>۲</sup>، معصومه فراست<sup>۱</sup>، حامد میرزائی<sup>۳\*</sup>

۱- گروه باغبانی، واحد اهواز، دانشگاه آزاد اسلامی، اهواز، ایران

۲- استاد مدعو گروه باغبانی، واحد اهواز، دانشگاه آزاد اسلامی، اهواز، ایران و عضو هیئت علمی گروه علوم باغبانی، دانشکده کشاورزی، دانشگاه علوم کشاورزی و منابع طبیعی خوزستان، اهواز، ایران

۳- استاد مدعو گروه باغبانی، واحد اهواز، دانشگاه آزاد اسلامی، اهواز، ایران و عضو هیئت علمی مرکز تحقیقات بیوشیمی و تغذیه در بیماریهای متابولیک، دانشگاه علوم پزشکی کاشان، کاشان، ایران

\*مسئول مکاتبات: mirzaei-h@kaums.ac.ir

DOI: 10.22034/ascij.2022.1938139.1291

تاریخ پذیرش: ۱۴۰۰/۰۶/۲۰

تاریخ دریافت: ۱۴۰۰/۰۵/۲۶

## چکیده

سرطان سلول‌های کبدی (HCC) یکی از شایع‌ترین بدخیمی‌ها در سرتاسر جهان می‌باشد و نسبت به داروهای شیمی‌درمانی مانند دوکسوروپیسین و ۵-فلورویوراسیل (5-FU) مقاوم می‌باشد. عصاره سیلیبیوم مارانوم یا ترکیب فعال سیلی مارین آن خاصیت ضدسرطانی دارد و بیشنهاد شده است که به عنوان یک عامل جایگزین و مکمل در درمان می‌تواند استفاده می‌شود. در این مطالعه تأثیرات ترکیبی اسانس سیلیبیوم مارانوم و 5-FU برای سرکوب رشد HCC در شرایط آزمایشگاهی با تأثیر بر مسیرهای Wnt, NF-κB, Rg-زائی، آپوپتوز و اتوفازی بررسی شد. بیان ژن‌های مسیر پیام‌رسانی NF-κB و Wnt و همچنین فاکتورهای مربوط به Rg-زائی، آپوپتوز و اتوفازی با استفاده از تکنیک‌های وسترن بلاط و qRT-PCR بررسی شد. براساس نتایج بدسن آمده همه تیمارها در مقایسه با گروه کنترل، زیستایی سلول‌های HepG2 را کاهش دادند. علاوه بر این، اسانس سیلیبیوم مارانوم خوزستان یا اصفهان (Sm-I و Sm-K) در ترکیب با 5-FU، مهاجرت و تهاجم را در سلول‌های HepG2 را کاهش داد. از لحاظ آماری میانگین بیان پروتئین‌های مرتبط با Rg-زائی (VEGF, COX-2, Bfgf, HIF-1α)، آپوپتوز (Bax, Bcl-2) و کاسپاز-۸)، اوتوفازی (Beclin-1) و LC3-II و LC3-I، NF-κB (p65) و total NF-κB (p65) به میزان قابل توجهی در سلول‌های تیمار شده در مقایسه با گروه کنترل تغییر یافته است. علاوه بر این، سطوح بیان ژن‌های مرتبط با مسیر Wnt نیز کاهش یافت. روی هم رفته، یافته‌ها نشان داد که سلیبیوم مارانوم به تنها یا در ترکیب با 5-FU می‌تواند از طریق تنظیم مسیرهای پیام‌رسانی اتوفازی، آپوپتوز، Rg-زائی، Wnt, NF-κB و اثرات ضدتومور ایجاد کند.

کلمات کلیدی: Rg-زائی، سرطان سلول‌های کبدی، اسانس سلیبیوم مارانوم، ۵-فلورو اوراسیل، درمان ترکیبی.

## مقدمه

یکی از علل عمدۀ مرگ و میرهای ناشی از سرطان در (HCC) است (۵). عفونت‌های ویروسی مانند هپاتیت C و C و همچنین بیماری‌های خود ایمن، مصرف سراسر جهان مربوط به سرطان سلول‌های کبدی

را تولید کنند که به رگزایی و پیشرفت بدخیمی کمک کننده می‌باشند (۴۷). علاوه بر این، مطالعات نشان داده است که مسیرهای پیام رسانی موثر بر متابولیسم، آپوپتوز، تکثیر یا رشد سریع سلول و چرخه سلولی بر پیشرفت HCC تاثیر می‌گذارد (۲۰). علاوه بر این، از مسیرهایی که به پیشرفت بدخیمی سلول‌های کبدی کمک می‌کند فعال شدن و افزایش بیان ژن‌های درگیر در مسیر Wnt/β-catenin، مسیر PI3K/Akt (PI3K/Akt) می‌باشد که کنترل سطح بیان فاکتورهای درگیر در فعال شدن بیش از حد این مسیرها به عنوان اهداف درمانی در مطالعات مختلف مطرح شده است (۲۴، ۳۱، ۴۱). علاوه بر این، مقاومت در برابر مرگ سلولی برنامه ریزی شده که ناشی از کاهش بیان ژن‌های محرك آپوپتوز (مانند کاسپاز-۸ و Bax)، افزایش بیان ژن‌های مهارکننده آپوپتوز (مانند Bcl-2)، مهار اتوفاژی (کاهش سطح بیان ژن‌های محرك اوتوفاژی مثل Beclin-1، LC3-I و LC3-II) یکی دیگر از ویژگی‌های سلول‌های سرطانی است که منجر به کاهش اثر بخشی شیمی درمانی شده و به پیشرفت سلول‌های سرطانی به سمت متاستاز کمک کننده می‌باشد. به طورکلی هدف از این مطالعه، ارزیابی اثرات ترکیبی سیلی بیوماریانوم و 5-FU بر روی سطح بیان فاکتورهای درگیر در رگزایی، آپوپتوز، اتوفاژی، NF-kB و ژن‌های درگیر در مسیر Wnt بر روی رده سلولی HepG2 در مقایسه با سیلیبیوم ماریانوم اصفهان (Sml-I) و سیلیبیوم ماریانوم خوزستان (Sml-K) می‌باشد.

### مواد و روش‌ها

مواد شیمیایی و معرف‌ها: استرپتومایسین، پودر MTT، 5-FU، تریپسین، دی‌متیل سولفوکسید (DMSO)، ماتریژل و پنی سیلین از شرکت سیگما

الکل، چاقی و دیابت فاکتورهای خطر HCC هستند و HCC به عنوان یکی از چالش‌های بهداشتی محسوب می‌گردد (۳، ۹). سیلیبیوم ماریانوم یا خارمریم گیاهی است که به طور گسترده برای درمان بیماری‌های کبدی مورد بررسی قرار گرفته است. ماده فعال آن یک عصاره چربی دوست یا همان انسنس دانه‌های گیاه و حاوی سه فلاونولیکتان ایزومری (سیلیدیانین، سیلیکریستین و سیلیبین) است که در مجموع سیلیمارین نامیده می‌شود. این ترکیب آنتی‌اکسیدانی است که از پراکسیداسیون لیپید و تولید رادیکال‌های آزاد جلوگیری می‌کند. این دارو برای درمان بیماری‌های مختلف مانند آسیب کبدی ناشی از سوموم، بیماری کبد الکلی و هپاتیت ویروسی استفاده می‌شود و برای درمان HCC تحت بررسی است. در طب سنتی، برای درمان اختلالات کبدی مانند سیروز، هپاتیت، کاهش کلسترول و مقاومت به انسولین در دیابت ملیتوس نوع II از عصاره دانه‌های سیلیمارین، شیره خارمریم و کپسول‌های ژله‌ای استفاده گسترده ای می‌شود (۲۷).

۵-فلورویوراسیل (5FU) یک داروی شیمی درمانی است که به عنوان یک ضدمتابولیت عمل می‌کند و از تیمیدیلات سنتاز و سنتز RNA/DNA جلوگیری می‌کند (۴۵). 5-FU به عنوان یک داروی استاندار برای درمان HCC، به عنوان بخشی از ترکیب 5-FU/Lوکوورین و اگزالی پلاتین مورد استفاده قرار می‌گیرد (۴۵). با این حال، عدم اثربخشی نسبی توسط 5-FU منجر به تلاش‌های زیادی برای تقویت اثرات ضدتوموری آن شده است. این تلاش‌ها شامل ترکیب آن با سایر عواملی است که مکانیسم عمل متفاوتی دارند. یکی از ویژگی‌های تمامی سلول‌های سرطانی از جمله HCC رگزایی سلول‌های سرطانی است که به گسترش، متاستاز و تهاجم آن کمک می‌کند (۲۳). سلول‌های HCC می‌توانند عوامل مختلف پیش-VEGF رگزایی از جمله COX-2، bFGF و همچنین

ساعت در دمای ۳۷ درجه سانتی‌گراد انکوبه شد. پس از آن، ۱۰۰ میکرولیتر DMSO اضافه شده و تکان داده شد. همچنین برای اندازه‌گیری میزان جذب از میکروپلیت خوان در طول موج ۵۷۰ نانومتر (۳۰) استفاده شد. IC50 (۵۰ درصد غلظت مهاری) در مقایسه با شاهد تعیین شد.

**ارزیابی تهاجم:** از یک محفظه اصلاح شده بویدن و پوشانده شده با ماتریزل برای آنالیز تهاجم سلولی استفاده شد. همان تیمارهایی که در بخش ۲.۴ شرح داده شد به مدت شش ساعت در محفظه فوقانی شامل ۵۰۰ میکرولیتر محیط بدون سرم و  $2.5 \times 10^4$  سلول HepG2 انجام شد. بعد از آن ۵۰۰ میکرولیتر محیط کشت در محفظه پایینی ریخته شد. پس از ۶ و ۱۲ ساعت، تمام سلول‌های غیرمهاجم با استفاده از یک سواب پنهان ای از محفظه فوقانی خارج شدند. در مرحله بعد، سلول‌های محفظه تحتانی را با پارافورمالدئید ۴ درصد در دمای اتاق به مدت ۱۵ دقیقه تثبیت و سپس با کریستال ویوله  $0/5$  درصد به مدت ده دقیقه رنگ آمیزی شد. کریستال ویوله اضافی با آب مقطر شسته شد. در نهایت، با استفاده از یک Zeiss Plan-Axioplan-2 میکروسکوپ ۱۰۰ Apochromat ۱۰۰ بررسی گردید.

**ارزیابی مهاجرت:** در یک پلیت ۶ خانه،  $3 \times 10^5$  سلول HepG2 کشت داده شد. سلول‌های HepG2 به تلاقي ۸۰ درصد رسیدند. مواد تیمارها در محیط کشت بدون FBS قرار داده شدند. سپس سلول‌ها به مدت ۶ یا ۱۲ ساعت انکوبه شدند. پس از آن، با استفاده از نوک پیپت زرد، خراشی را در تک لایه سلول‌ها ایجاد گردید. برای ارزیابی سلول‌های رنگ آمیزی شده (پس از ۶ و ۱۲ ساعت)، از یک Zeiss Plan-Axioplan-2 میکروسکوپ ۱۰۰ عدسی

(سنت لوئیس؛ MO: ایالات متحده آمریکا) خریداری شد.

**اسانس سیلیبیوم ماریانوم:** در این مرحله، پودر آسیاب شده دانه‌های سیلیبیوم ماریانوم (تهیه شده از استانهای اصفهان و خوزستان) در آب مقطر با غلظت ۱۰ درصد وزنی/حجمی خیسانده شده تا اسانس تهیه شود. سپس به مدت ۲۴ ساعت در دمای اتاق تحت چرخش مداوم قرار گرفت. سپس مایع رویی را جمع کرده و به مدت ۲۰ دقیقه با سرعت  $10000$  آر پی ام سانتریفیوژ کرده سپس محلول فوکانی شفاف برای استفاده در سنجش‌ها ذخیره گردید (۳۲).

**کشت سلولی:** سلول‌های HepG2 در محیط کشت RPMI 1640 در فلاسک‌های کشت سلولی T25 کشت داده شدند. از پنی‌سیلین/استرپتومایسین (۱ درصد حجمی/حجمی) و سرم جنین گاوی ۱۰ درصد همراه با محیط کشت استفاده شد. سپس، سلول‌ها در دمای ۳۷ درجه سانتی‌گراد در ۵ درصد دی اکسید کربن انکوبه شدند.

**اندازه گیری زیستایی سلول:** برای ارزیابی سمیت Sm-K+5-5FU، Sm-K، Sm-I و Sm-I+5-5FU، HepG2 از روش ۵FU استفاده شد. باذین منظور  $1 \times 10^4$  سلول HepG2 در یک پلیت ۹۶ خانه همراه با  $100$  میکرولیتر محیط کشت کاشته شد. پلیت به مدت ۴۸ ساعت انکوبه شد. پس از شستشو با PBS، غلظت‌های صعودی اسانس برابر با  $0/31$ ،  $0/62$ ،  $1/25$ ،  $1/10$ ،  $5/20$ ،  $5/40$  و  $80/31$  میلی‌گرم در میلی‌لیتر و ۵-FU  $0/15$  برابر  $0/62$ ،  $1/25$ ،  $2/5$ ،  $10/5$ ،  $20/5$  و  $40/5$  میلی‌گرم بر میلی‌لیتر اضافه شد و سلول‌ها در دمای ۳۷ درجه سانتی‌گراد به مدت ۲۴ ساعت رشد کردند. هیچ سلول تیمارشده ای را به عنوان شاهد در نظر نگرفتم. در مرحله بعد،  $10$  میکرولیتر MTT ( $0/5$  میلی‌گرم/میلی‌لیتر) روی همه چاهک‌ها ریخته شد و به مدت سه

برای تعیین غلظت پروتئین از کیت BCA (پیرس راکفورد: ایالات متحده) استفاده شد. سپس ۷۰ میکروگرم پروتئین با استفاده از ژل الکتروforez ۱۰ درصد SDS-پلی آکریل آمید جدا شده و سپس بر روی غشای فلوراید پلی وینیلیدن منتقل گردید (Pall Corporation US: Port Washington). در مرحله بعد، بلوکه سازی به مدت یک ساعت با شیر ۵ درصد در سالین بافتریس با تویین ۲۰ انجام شد. آنتی بادی‌های اولیه با رقت ۱ به ۴۰۰ anti-COX-2 (Boshide bFGF, HIF-1 $\alpha$ , VEGF مخصوص شرکت Biotechnology Co.) اضافه شده و در دمای ۴ درجه سانتی گراد به مدت یک شب انکوبه شد. سپس آنتی بادی ثانویه (۱ به ۵۰۰۰) اضافه شد و برای مشاهده باند از واکنش کمی لومینسانس استفاده شد. از سیستم تصویربرداری (Bio-Rad, USA) ChemiDocMP برای سنجش شدت نوارهای پروتئینی استفاده کردیم و با شدت باند GAPDH در هر ژل نرمال شد.

**آنالیز آماری:** مقادیر زیستایی سلول‌ها با روش ANOVA یک طرفه مقایسه شد. سطوح بیان ژن با استفاده از آزمون Kruskal-Wallis و Benjamini H مقایسه شد. از نرخ کشف کاذب هوشبرگ برای تصحیح نتایج استفاده شد. STATA 14.2 (TX USA) و یک بسته نرم افزاری آماری گراف پد پریزم ۶ (CA: USA) برای آنالیز داده‌ها استفاده شد. در نهایت، معناداری مقادیر p کمتر از ۰/۰۵ تعیین شد.

Apochromat 100 استفاده شد. برای تعیین کمیت سطح خراش، از نرم افزار ImageJ استفاده شد.

**qRT-PCR:** در یک پلیت شش‌خانه، سلول‌های HepG2 ( $1 \times 10^6$  سلول) کشت داده شد. پس از آن سلول‌ها تیمار شده و پلیت به مدت ۲۴ ساعت در دمای ۳۷ درجه سانتی گراد انکوبه شد. برای استخراج RNA، از یک RNA Mini-Kit (Qiagen) Hilden (آلمان) بر اساس دستورالعمل شرکت سازنده استفاده شد. در مرحله بعد، خلوص RNA و همچنین NanoDrop محتوی آن با طیف سنجی بررسی شد (2000، آلمان). علاوه بر این، ستر cDNA بر اساس Fermentas دستورالعمل کیت فرمانتاز ستر شد (Maryland: USA). جهت انجام RT-PCR (Roche Molecular Systems) PCR روی سیستم SYBR Premix Ex Taq USA با استفاده از (Qiagen, USA) انجام شد. به منظور نرمال سازی سی تی ژن‌های مورد بررسی از ژن خانه دار GAPDH استفاده شد (۷، ۴). سطوح نسبی بیان ژن با استفاده از روش  $2^{-\Delta\Delta CT}$  با کمک ابزار آنالیز داده‌های آنلاین QIAGEN محاسبه شد.

**وسترن بلات:** در یک پلیت شش خانه حدود  $1 \times 10^6$  سلول HepG2 کشت داده شد. متعاقباً، سلول‌ها با گروه‌های مورد مطالعه تیمار شده و در دمای ۳۷ درجه سانتی گراد به مدت ۲۴ ساعت انکوبه گردید.

جدول ۱- پرایمرهای ژن‌های مورد مطالعه

ژن	پرایمر رفت	پرایmer برگشت
ZEB1	5' GCACCTGAAGAGGACCAGAG 3'	5' TGCATCTGGTGTCCATTTC 3'
VEGF	5' CTGAAGAGGACCAGA 3'	5' TCCTCTGCACACATTGA 3'
Twist	5' GACGGTTGCCATCCAGAC 3'	5' TGTCCATTCTCCTCTGG 3'
cyclin D1	5' GCTGCGAAGTGGAAACCATC 3'	5' GCTGCGAAGTGGAAACCATC 3'

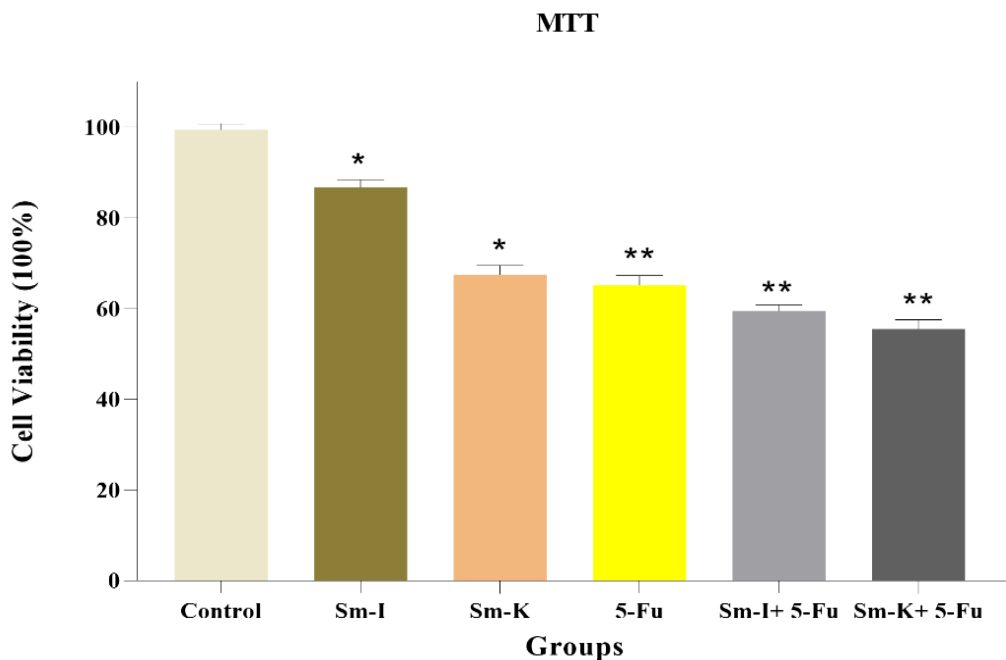
## نتایج

علاوه بر این، سطح بیان ژن VEGF که در رگ زایی نقش دارد در تمام گروه های تیمار شده در مقایسه با گروه کنترل به طور معنی داری کاهش یافته است و Sm-K+5-FU و Sm-I+5-FU در گروه های ترکیبی VEGF و HIF-1 $\alpha$  در مقایسه با گروه کنترل به ترتیب ۳/۸۷ و ۲/۴۶ برابر با ۳/۸۷ و ۲/۴۶ یافته است. سطح بیان چهار پروتئین مرتبط با رگ زایی (VEGF، bFGF، HIF-1 $\alpha$  و LC3-I)، مرتبط با اتوفازی (COX-2، Beclin1) و (LC3-II)، مرتبط با آپوپتوز (کاسپاز ۸، Bax و Bcl-2) و NF-kB با استفاده از روش وسترن بلاست سنجیده شد و بدین منظور از میانگین غلظت GAPDH به عنوان پروتئین خانه دار جهت نرمال سازی نتایج وسترن بلاست استفاده شد. همانطوری که در شکل ۵ نیز قابل مشاهده است در تمام گروه های تیمار شده سطح پروتئین های مورد بررسی به طور معنی داری کاهش یافته است. همچنین، بیشترین غلظت پروتئین کاهش یافته در مقایسه با گروه کنترل مربوط به پروتئین VEGF در گروه Sm-I+5-FU مشاهده گردید (مقدار ۰/۰۰۱). علاوه بر این، در گروه های ترکیبی میانگین غلظت تمام پروتئین ها به طور معنی داری کمتر از گروه های Sm-I و Sm-K بوده است که نشان دهنده این مطلب است که ترکیب سیلیبیوم ماریانوم و ۵-FU اثر بخشی بیشتری در مقایسه با Sm-K یا Sm-I تنها دارد. علاوه بر این، همانطوری که در شکل ۶ نیز قابل مشاهده است. انسانس به تنها بیان ۵-FU به تنها افزایش اندک اما معناداری در سطح پروتئین می شود، ۵-FU به تنها افزایش بیشتری را ایجاد می کند، در حالی که ترکیبات انسانس به علاوه ۵-FU قوی ترین افزایش را ایجاد می کند. شکل ۷ مجموعه ای از بلاست ها و شکل ۷B نمودار های کمی فاکتور های مرتبط با آپوپتوز را نشان می دهد. انسانس و Sm-I و Sm-K به تنها بیان ۵-FU به تنها افزایش اندک اما قابل توجهی

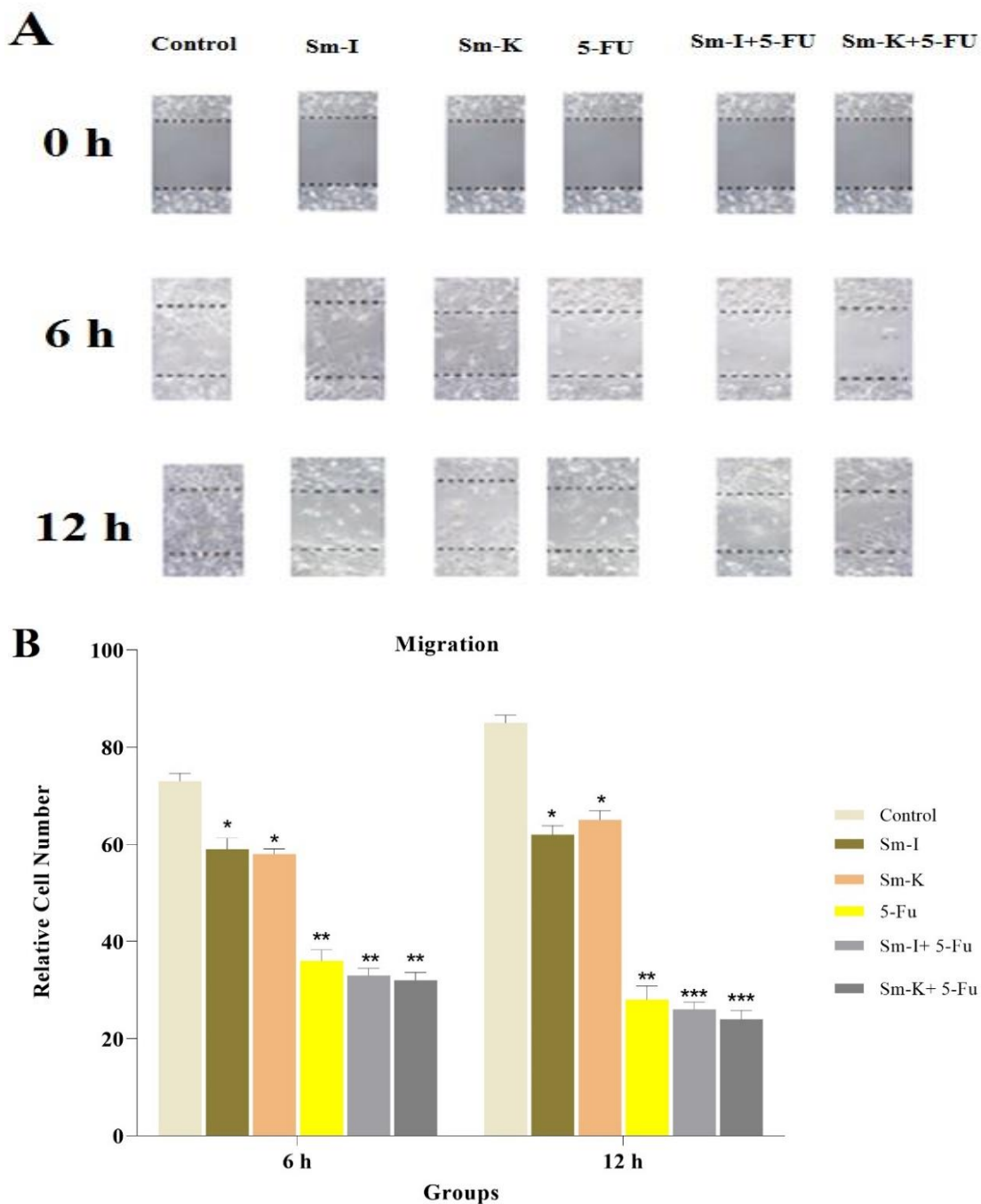
سیلیبیوم ماریانوم و ۵-FU به طور معنی داری منجر به کاهش زیستایی، تهاجم و مهاجرت سلول های HepG2 شد. تکثیر و زیستایی و همچنین تهاجم سلول های HepG2 مورد بررسی قرار گرفت. یافته ها در شکل ۱ تا ۳ نشان داده شده است. همه تیمارها باعث کاهش قابل توجهی در زیستایی و تهاجم سلول ها شدند. غلظت ۵۰ میلی گرم / میلی لیتر از Sm-K، ۵۰ میلی گرم / میلی لیتر از Sm-I، غلظت ۱۹/۲ میلی گرم / میلی لیتر از ۵-FU، غلظت ۱۸ میلی گرم / میلی لیتر از Sm-K بهمراه ۱۲ میلی گرم / میلی لیتر از ۵-FU و همچنین غلظت ۲۱ میلی گرم / میلی لیتر از Sm-I بهمراه ۹ میلی گرم / میلی لیتر از ۵-FU منجر به کاهش قابل ملاحظه ای در زیستایی و تهاجم سلول های HepG2 در مقایسه با گروه کنترل گردید. برای اطلاعات بیشتر به اشکال ۱ تا ۳ مراجعه شود. در گروه های تیمار شده (با غلظت هایی که در بالا اشاره شد) بعد از انکوباسیون ۶ ساعته میزان مهاجرت سلولی بین ۳۲ تا ۶۰ درصد کاهش یافته است. همچنین، پس از انکوباسیون ۱۲ ساعته، مهاجرت بین ۲۲ تا ۳۰ درصد مشاهده شد (شکل ۳). در گروه های تیمار شده میانگین سطح بیان VEGF و Fakتور های NF-kB در گیر در مسیر پیام رسانی Wnt، آژیوژن، آپوپتوز، اتوفازی و به طور معنی داری در مقایسه با کنترل تغییر بیان داشته است. سطوح بیان ژن های سایکلین RT-PCR، ZEB1 و Twist با استفاده از D1، VEGF، D1 اندازه گیری شد. نتایج ارائه شده در شکل ۴ نشان داد که سطح بیان ژن های در گیر در مسیر پیام رسانی Wnt از قبیل ژن های سایکلین D1، ZEB1 و Twist در تمام گروه های تیمار شده به طور معنی داری کاهش یافته است. بیشترین کاهش بیان در مورد ژن Twist می باشد که سطح بیان این ژن در گروه Sm-I+5-FU در مقایسه با گروه کنترل ۳/۱۸ برابر کاهش یافته است.

نهایی باعث کاهش کوچک اما معناداری در پروتئین NF-κB های (p65) و phospho-NF-κB (p65) شد؛ ۵-FU به تنها ی کاهش بیشتری را ایجاد کرد، در حالی که ترکیبات اسانس به علاوه ۵-FU قوی ترین کاهش را ایجاد کردند.

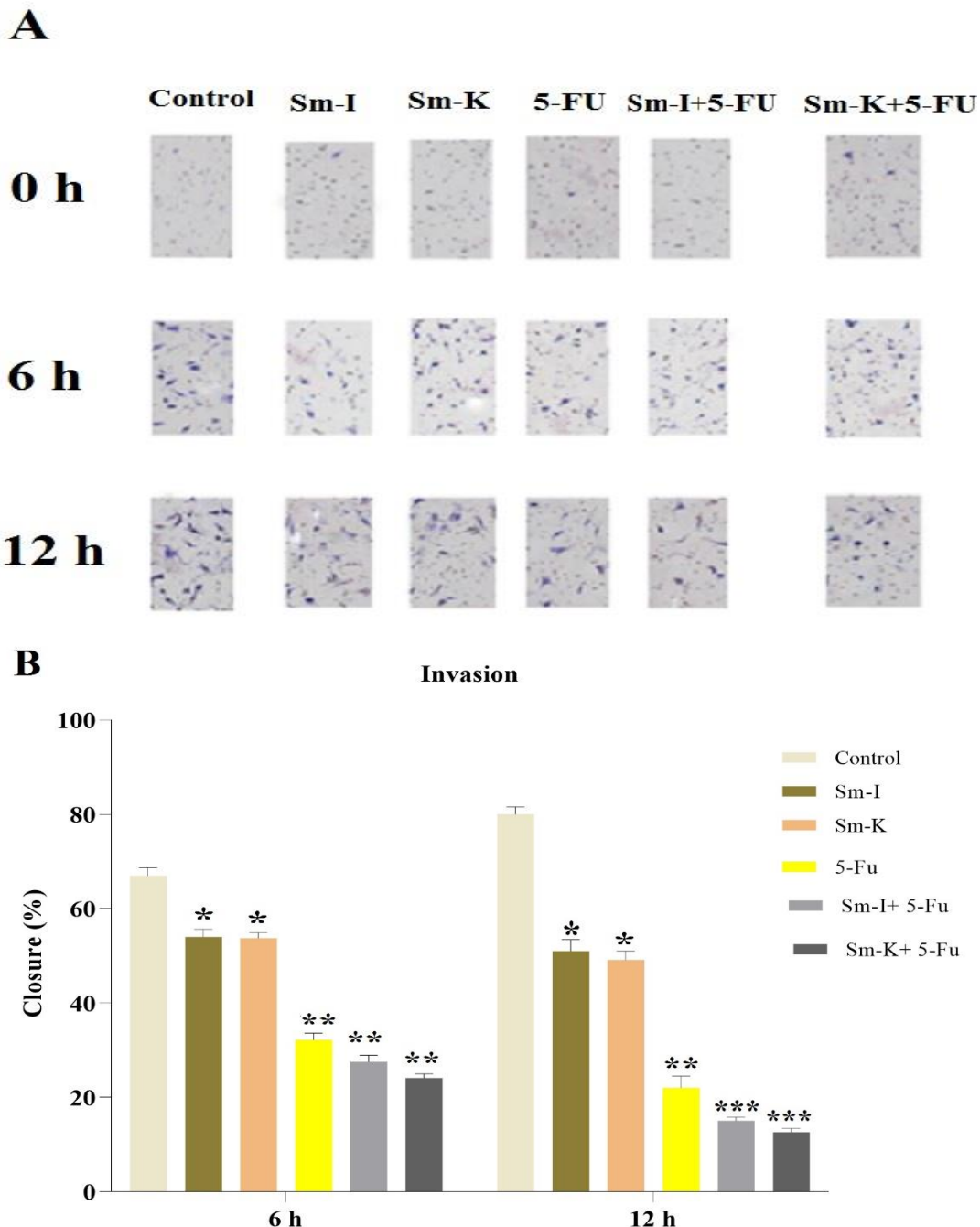
در سطح پروتئین های آپوپتوزی (کاسپاز-۸ و Bcl2) شد و سطح پروتئین ضدآپوپتوز (Bax) را به میزان معناداری کاهش داد. ۵-FU به تنها ی کاهش بیشتری را ایجاد می کند، در حالی که ترکیب اسانس به علاوه ۵-FU بیشترین کاهش و افزایش را ایجاد کرد. همانطوریکه در شکل ۸ قابل مشاهده است اسانس به



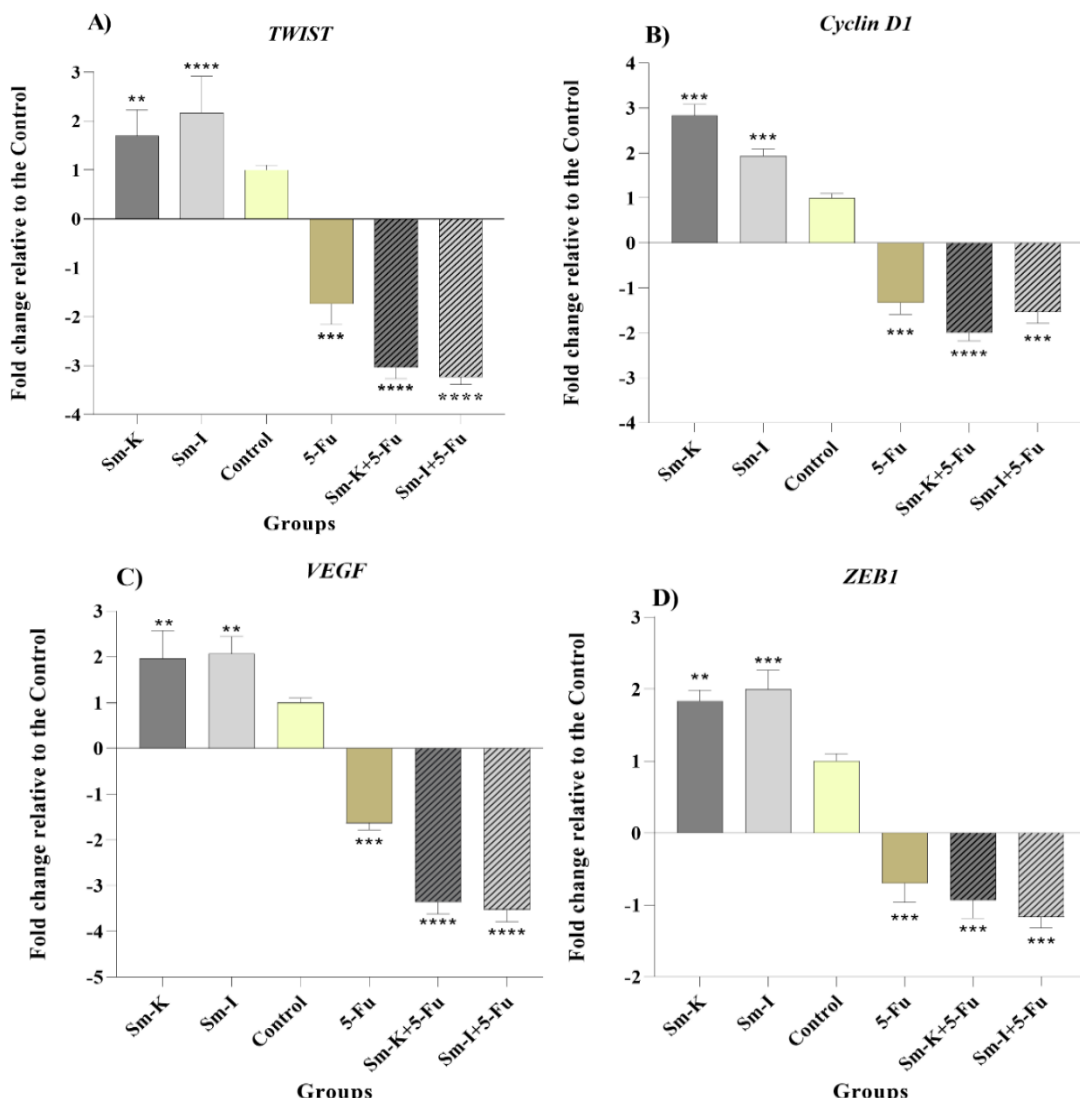
شکل ۱- زنده‌مانی سلول. سلول‌های HepG2 به مدت ۴۸ ساعت با غلظت ۵۰ میلی گرم/میلی لیتر از Sm-K میلی گرم/میلی لیتر از Sm-I، غلظت ۱۹/۲ میلی گرم/میلی لیتر از ۵-FU، غلظت ۱۸ میلی گرم/میلی لیتر از Sm-K بهمراه ۱۲ میلی گرم/میلی لیتر از ۵-FU و همچنین غلظت ۲۱ میلی گرم/میلی لیتر از Sm-I بهمراه ۹ میلی گرم/میلی لیتر از ۵-FU تیمار شدند. (کنترل گروه تیمار نشده). \*:  $p < 0.05$  ، \*\*:  $p < 0.01$



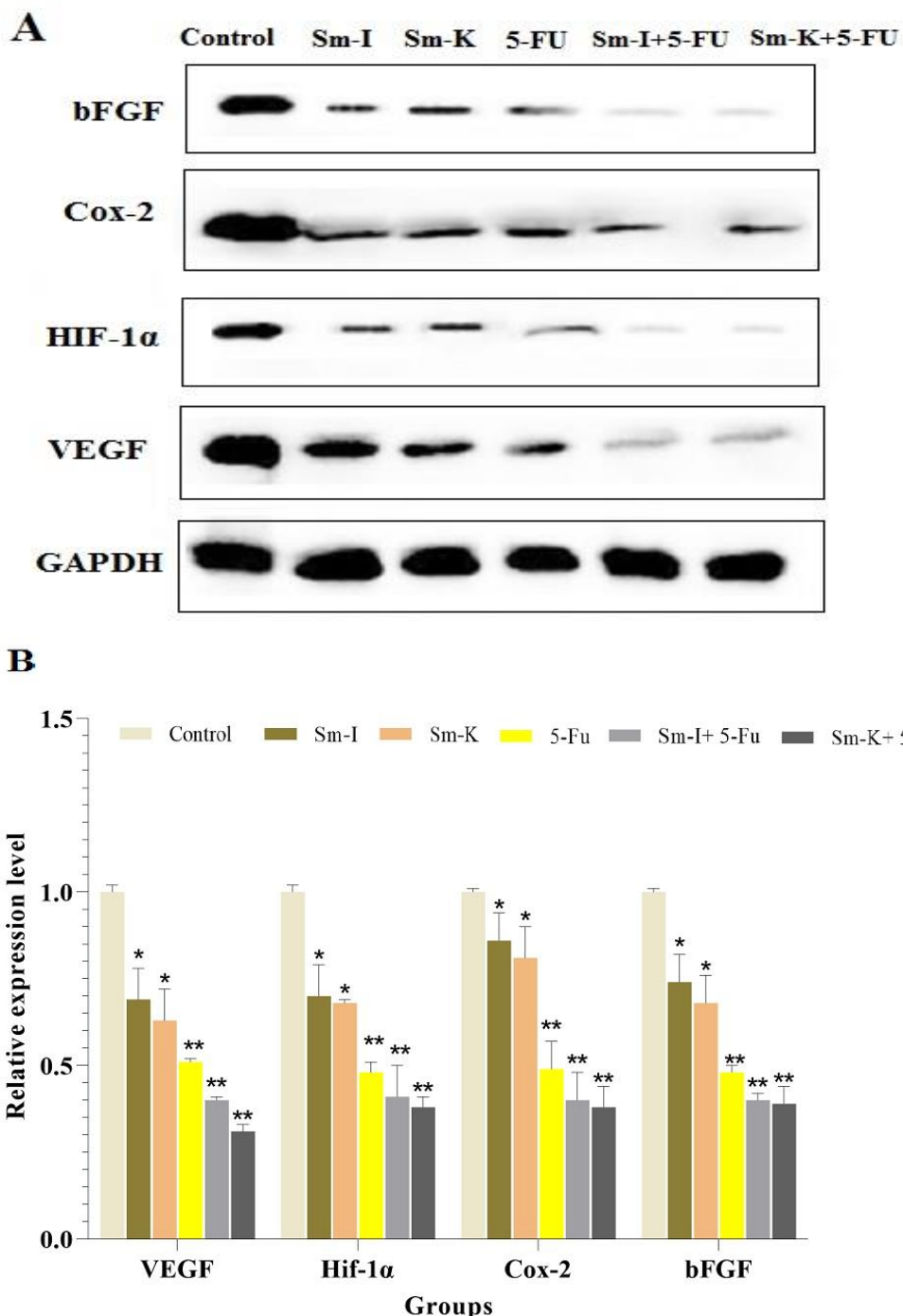
شکل ۲- مهاجرت سلولی. سلول‌های HepG2 در محفظه Boyden اصلاح شده با Matrigel با کنترل (تیمار نشده)، و غلظت ۵۰ میلی‌گرم/میلی‌لیتر از Sm-K، ۵۰ میلی‌گرم/میلی‌لیتر از Sm-I، غلظت ۱۹/۲ میلی‌گرم/میلی‌لیتر از ۵-FU، غلظت ۹ میلی‌گرم/میلی‌لیتر از Sm-K+5-FU، بهمراه ۱۸ میلی‌گرم/میلی‌لیتر از Sm-K+5-FU و همچنین غلظت ۲۱ میلی‌گرم/میلی‌لیتر از Sm-I بهمراه ۹ میلی‌گرم/میلی‌لیتر از ۵-FU پس از ۶ و ۱۲ ساعت، تعداد سلول‌های مهاجم به شیوه ذکر شده در بخش مواد و روش‌ها اندازه گیری شد. A: تصویر نماینده و B: اندازه‌گیری شده. \*\*\*:  $p < 0.001$ ، \*\*:  $p < 0.01$ ، \*:  $p < 0.05$



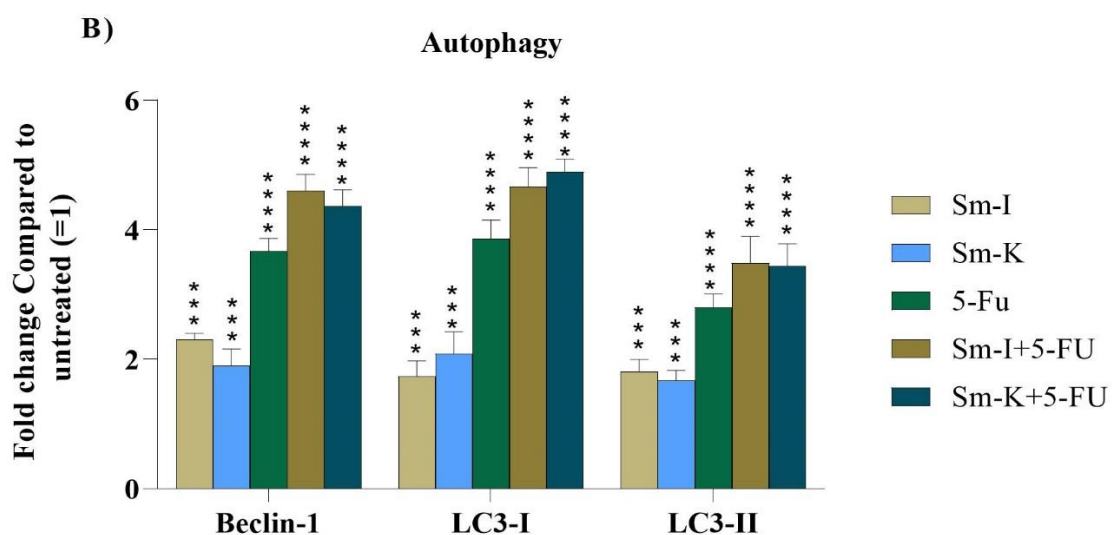
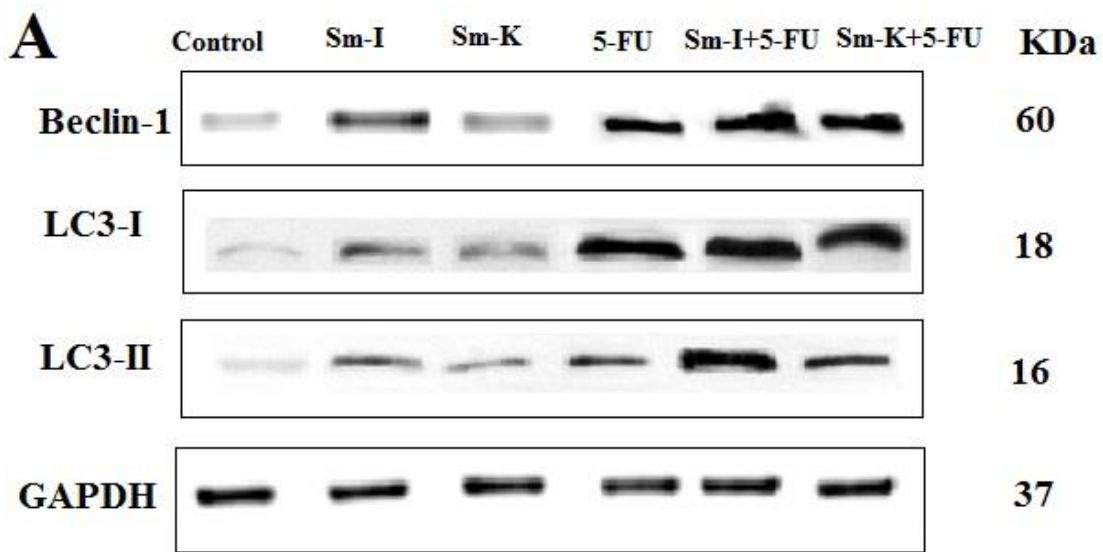
شکل ۳- تهاجم سلولی (درصد بسته شدن خراش). سلول‌های HepG2 در محل تلاقی ۸۰٪ با نوک پیپت خراشیده شده و با کنترل (تیمار نشده)، و غلظت ۵۰ میلی‌گرم/میلی‌لیتر از Sm-K، ۵۰ میلی‌گرم/میلی‌لیتر از Sm-I، غلظت ۱۹/۲ میلی‌گرم/میلی‌لیتر از ۵-FU، غلظت ۱۸ میلی‌گرم/میلی‌لیتر از Sm-K، ۱۲ میلی‌گرم/میلی‌لیتر از ۵-FU و همچنین غلظت ۲۱ میلی‌گرم/میلی‌لیتر از Sm-I، غلظت ۹ میلی‌گرم/میلی‌لیتر از ۵-FU پس از ۶ و ۱۲ ساعت، تعداد سلول‌های مهاجم به شیوه ذکر شده در بخش مواد و روش‌ها اندازه گیری شد. A: تصویر نماینده و B: اندازه گیری شده. \*: p < 0.05, \*\*: p < 0.01, \*\*\*: p < 0.001.



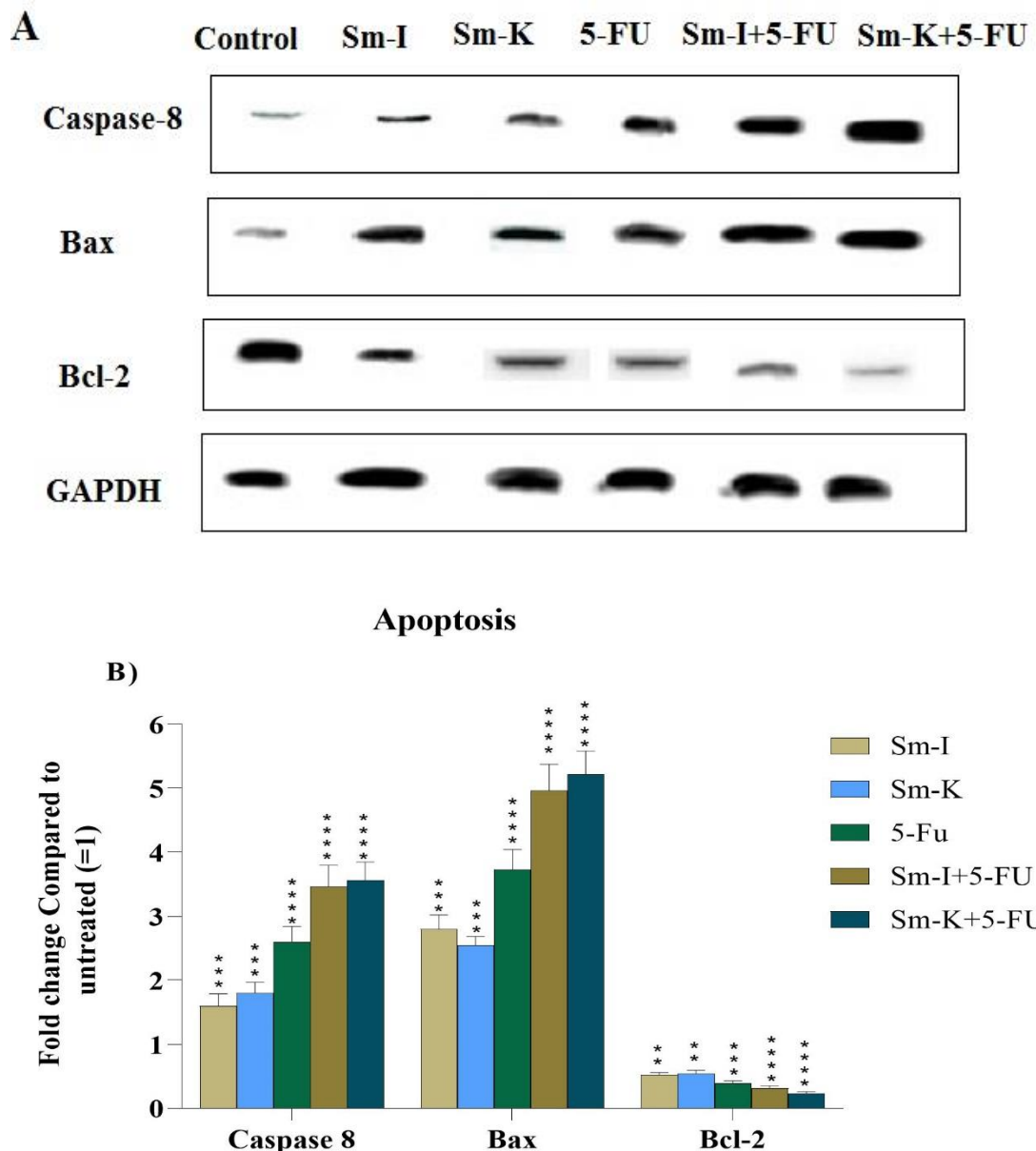
شکل ۴. مقایسه سطح بیان ژن های سایکلین D1، Twist، VEGF و ZEB1 بین گروه های تیمار شده در مقایسه با گروه کنترل (تیمار نشده). \*:  $p < 0.05$ ; \*\*:  $p < 0.01$ ; \*\*\*:  $p < 0.001$ ; \*\*\*\*:  $p < 0.0001$ .



شکل ۵. وسترن بلاط (باندهای وسترن بلاط شکل A) و سنجش پروتئین‌های مربوط به رگ‌زائی (شکل B) در گروه‌های تیمار شده در مقایسه با گروه کنترل (تیمار نشده). \*:  $p < 0.05$ ؛ \*\*:  $p < 0.01$ ؛ \*\*\*:  $p < 0.001$ ؛ \*\*\*\*:  $p < 0.0001$ .

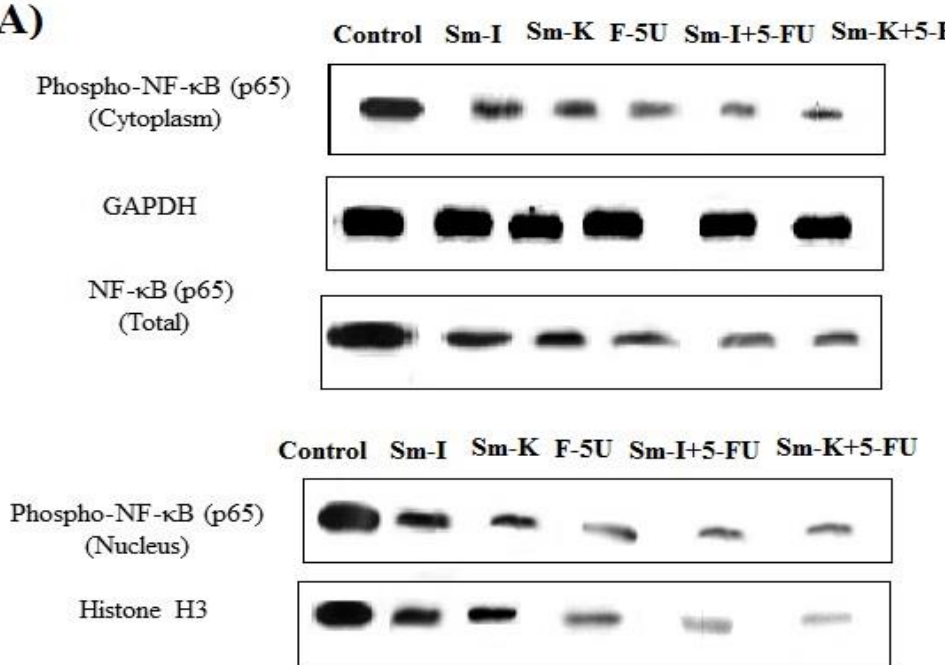


شکل ۶. وسترن بلاط (باندهای وسترن بلاط شکل A) و سنجش پروتئین‌های مربوط به اتوفرازی (شکل B) در گروه‌های تیمار شده در مقایسه با گروه کنترل (تیمار نشده).  $p < 0.0001$ :\*\*\*\*,  $p < 0.001$ :\*\*\*,  $p < 0.05$ :\*\*,  $p < 0.01$ :\*,  $p < 0.001$ :\*\*\*,  $p < 0.0001$ :\*\*\*\*,  $p < 0.001$ :\*\*\*,  $p < 0.05$ :\*,  $p < 0.01$ :\*,  $p < 0.001$ :\*\*\*.

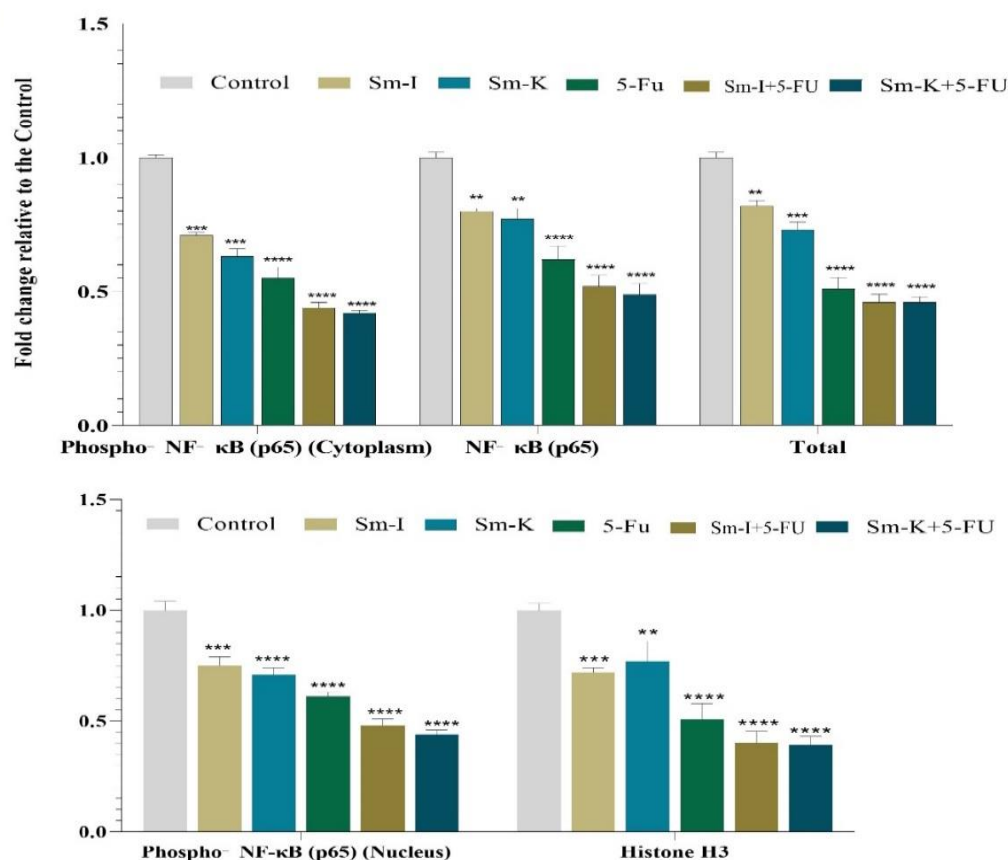


شکل ۷. وسترن بلاط (باندهای وسترن بلاط شکل A) و سنجش پروتئین‌های مربوط به اتوفازی (شکل B) در گروه‌های تیمار شده در مقایسه با گروه کنترل (تیمار نشده). \*\*\*:  $p < 0.001$ ; \*\*\*\*:  $p < 0.0001$  و  $p < 0.05$

**A)**



**B**



شکل ۸. سطوح پروتئین‌های مرتبط با phospho-NF-κB (p65) و total NF-κB (p65) NF κB (p65) با استفاده از وسترن بلات. تیمار سلول‌های HepG2 با کنترل (بدون دارو) و گروه‌های تیمار شده که به مدت ۲۴ ساعت انکوبه شدند. \*:  $p < 0.05$ ; \*\*:  $p < 0.01$ ; \*\*\*:  $p < 0.001$ ; \*\*\*\*:  $p < 0.0001$ .

## بحث

مورد تجزیه و تحلیل قرار گرفت. طبق نتایج، میانگین همه فاکتورهای مورد بررسی در گروههای تیمار شده در مقایسه با گروه تیمار نشده به طور معنی داری کاهش یافته است. با این حال نتایج بدست آمده نیازمند مطالعات تجربی بیشتری است. اخیراً، وو و همکارانش از یک رده سلولی کارسینومای انتقالی T24-L متاستاتیک استفاده کردند و نتیجه گرفتند که تیمار با سیلیبین می‌تواند از تهاجم و مهاجرت سلولی در شرایط آزمایشگاهی جلوگیری کند، متاستاز ریه را در سرطان مثانه کاهش دهد و بقای حیوانات را در شرایط درون تنی افزایش دهد (۴۳). به طور مشابه، کوفی و همکارانش توانایی سیلیبین در کاهش بیان عوامل رونویسی مرتبط با EMT SNAIL2 و TWIST1 در رده سلولی سرطان ریه سلولهای غیرکوچک با جهش EGFR را نیز نشان دادند (۱۰). آژیوژنز یا رگ‌زایی نقش مهمی در رشد سرطان ایفا می‌کند، زیرا تومورهای جامد در صورتی که اندازه آنها بیش از چند میلی متر باشد نیاز به خون دارند. تومورها در واقع می‌توانند با انتشار سیگنالهای شیمیایی که رگ‌زایی را تحریک می‌کنند، باعث ایجاد این منبع خون شوند (۲). آژیوژنز یک مکانیسم مهم در پیشرفت و توسعه HCC است که اغلب در تومورهای بسیار پر عروق مشاهده می‌شود (۴۶، ۳۱، ۳۲، ۳۳). از فاکتورهای بسیار مهمی که منجر به تحریک bFGF، VEGF، HIF-1 $\alpha$ ، و Cox-2 اشاره کرد (۱۳، ۲۱، ۲۸-۲۹، ۳۱، ۳۶، ۴۲-۴۴). در مطالعات مختلفی اثر مهار کنندگی سیلیبین ماریانوم بر روی رگ‌زایی مورد بحث قرار گرفته است. به عنوان مثال، دیپ و همکارانش قدرت مهار رگ‌زایی را بین چهار فلاونولیگنان دیاستروایزومر خالص، از جمله ایزوسیلیبین B، ایزوسیلیبین A، سیلیبین A، سیلیبین B انجام مورد مقایسه قرار دادند.

در این مطالعه اثرات ضدتوموری اسانس سیلیبینوم ماریانوم را به صورت تک درمانی یا در ترکیب با ۵-FU در سلولهای HepG2 ارزیابی گردید. مطالعه حاضر نشان داد که اسانس سیلیبینوم ماریانوم به تهایی و در ترکیب با ۵-FU اثرات ضد توموری خود را از طریق تأثیر بر روی مسیرهای التهابی، Wnt، آپوپتوز، اتوفازی، رگزائی بر روی رده سلولی HepG2 اعمال می‌کند. مطالعات ما نشان داد که سیلیبینوم ماریانوم به تهایی و در ترکیب با ۵-FU قادر به کاهش بیان ZEB1، Twist و cyclin D1 در سلولهای HepG2 هستند. مسیر پیام رسانی Wnt/β-catenin نقش حساسی در پاتوزنز کبد ایفا می‌کند (۶، ۸). در این راستا، سایکلین β-catenin D1 به عنوان یک هدف شناخته شده برای D1 متابال شده در نظر گرفته می‌شود (۱۶، ۱۷، ۳۷، ۳۸). متاستاز یک فرایند پیچیده ای است که شامل جداسدن سلولهای توموری از محل اولیه و به دنبال آن انتشار و تکثیر در مکانهای دوردست است. برای دستیابی به این هدف، سلولهای سرطانی اپیتلیال باید یک فنوتیپ مهاجر و انعطاف‌پذیر بدست آورند. انتقال اپیتلیال-مزانشیمی (EMT) یک مکانیسم رشد مهمی است که به سلولهای تومور اجازه می‌دهد تا به این فنوتیپ دست یابند. شواهد نشان داده است که عوامل تحریک کننده EMT از جمله Twist ZEB1 و سایکلین D1 می‌توانند باعث پیشروی بدخیمی و متاستاز شوند (۱۵، ۳۴، ۳۷-۴۰). گزارش شده است که VEGF علاوه بر اینکه از طریق افزایش رگ‌زایی منجر به پیشرفت بدخیمی می‌شود همچنین از طریق تنظیم محیط توموری منجر به تحریک متاستاز سلولهای سرطانی نیز می‌شود (۱۴). از این رو، در این مطالعه، سطح بیان پروتئین‌های ZEB1، VEGF و Twist و سایکلین D1 در گروههای تیمار شده

ایمونوہیستوشیمی و وسترن بلاط تشخیص داده شد. مکمل غذایی سیلیمارین بیان COX-2 را کاهش داده و همچنین لیپید خون را به طور معنی‌داری کاهش داده است. از این رو، ترکیباتی مانند سیلیمارین با اثرات هایپولیپیدمی قوی می‌تواند به عنوان عوامل جایگزین شیمی درمانی در بیماران با خطر بالای سرطان کبد در نظر گرفته شود (۳۵).

در مطالعه حاضر، بیان برخی از ژن‌های مرتبط با مرگ سلولی برنامه ریزی شده از قبیل آپوپتوز و اتوفازی مورد بررسی قرار گرفت. یافته‌های ما نشان داد که اسانس سیلیبیوم ماریانوم به تنها یک و در ترکیب با ۵-FU می‌تواند بیان ژن‌های محرک آپوپتوز (کاسپاز-۸ و Bax) و اتوفازی را در سلول‌های HepG2 افزایش دهد. اتوفازی یکی از عملکردهای مهم بیولوژیکی است و تنظیم آن در بیماری‌زائی سرطان کبد نقش دارد (۱۱). اختلال در تنظیم اتوفازی با اختلال در تعادل انرژی و مواد مغذی در سلول‌ها همراه است و بنابراین بر فیزیولوژی کبد و بیماری کبد تأثیر می‌گذارد (۱۱). برخی از مطالعات نشان می‌دهد که سیلیمارین قادر است از طریق هدف قرار دادن پروتئین‌های مرتبط با اتوفازی، اثرات ضدسرطانی داشته باشد. جیانگ و همکارانش اثرات ضدسرطانی سیلیبینین را ارزیابی کردند. آنها نشان دادند که این ترکیب تأثیر خود را از طریق هدف قرار دادن پروتئین‌های مرتبط با اتوفازی مانند LC3-I و LC3-II اعمال می‌کند (۱۸). نتایج آنها نشان داد که سیلیبینین باعث تبدیل LC3-I به LC3-II، و در نتیجه باعث افزایش شدید Atg12-Atg5 می‌شود. این رویدادها منجر به بیان بیش از حد بکلین ۱- و کاهش سطح Bcl-2 می‌شود و بدین طریق مرگ سلولی ناشی از اتوفازی را تحریک می‌کند (۴۳). مشابه مطالعه ما، برخی مطالعات تأیید کردند که سیلیمارین می‌تواند

این ترکیبات به عنوان اجزای بیولوژیکی فعال در اسانس سیلیبیوم ماریانوم شناخته شده‌اند (۱۲). محققان دریافتند تغذیه موش‌ها با فلاونولیگنان (۱۰۰ و ۵۰ میلی گرم بر کیلوگرم وزن بدن) با مهار موثر رشد تومور ارتباط دارد. آنالیز ایمونوہیستوشیمی نشان داد که چنین فلاونولیگنین‌هایی می‌توانند بیومارکرهای آنژیوژنیز تومور مانند نستین و CD31 و همچنین واسطه‌های پیام رسانی (VEGFR1، VEGFR2 و HIF-1 $\alpha$  phospho-Akt) را کاهش دهند تا رگزائی را تنظیم کنند. همچنین فلاونولیگنان‌ها می‌توانند تشکیل لوله شبه موبرگی القا شده توسط VEGF، تکثیر سلولی و همچنین تهاجم سلول‌های اندوتیال وریدی ناف انسان (HUVEC) را به صورت in-vitro مهار کنند. تحقیقات بعدی با استفاده از HUVEC نشان داد که فلاونولیگنان‌ها می‌توانند چرخه سلولی را متوقف کرده، مسیرهای پیام رسانی ناشی از VEGF را مهار کرده و باعث آپوپتوز شوند (۱۲). علاوه بر این، جیانگ و همکارانش نقش سیلیمارین را به عنوان یک عامل ضدرگزائی در HUVECs و سمیت سلولی آن در سلول‌های سرطانی پستان و پروستات انسان ارزیابی کردند. آنها مشاهده کردند که تنها پس از گذشت یک ساعت، سیلیمارین می‌تواند بر ترشح VEGF تأثیر مهاری داشته باشد. آنها به این نتیجه رسیدند که سیلیمارین یک اثر ضدرگزائی نشان می‌دهد که می‌تواند اثر پیشگیرانه آن بر گسترش سرطان را توضیح دهد (۱۷). در نهایت، راماکریشان و همکارانش تأثیر مکمل‌های غذایی با سیلیمارین را در مدل رت کارسینوژن کبدی ناشی از N-نیتروسودیل اتیل آمین بررسی کردند. آنها بیان COX-2، پروفایل لیپیدی، آنزیم‌های متابولیزه کننده لیپید و اسیدهای چرب آزاد را در رت‌ها اندازه‌گیری کردند (۳۵). موشهای تیمارشده با NDEA افزایش بیان COX-2 و هایپرلیپیدمی شدید را نشان دادند که توسط

اثرات ضدالتهابی سیلیمارین از طریق مهار فعال سازی NF-κB و انواع کینازها، مشاهده شده است (۲۶).

### نتیجه‌گیری

مطالعه ما نشان داد که انسانس سیلیبیوم ماراینوم به تنهایی و در ترکیب با ۵-FU قادر به تنظیم مسیرهای مختلف سلولی مرتبط با سرطان‌زایی در سلول‌های HepG2 می‌باشد. به نظر می‌رسد که استفاده از انسانس سیلیبیوم ماراینوم ممکن است اثرات ضدسرطانی داروهای خط اول در درمان سرطان سلول‌های کبدی یعنی ۵-FU را بهبود بخشد. با اینحال، تحقیقات پیش‌بالینی و بالینی بیشتر برای تأیید اثرات ضد سرطان سلول‌های کبدی انسانی مورد نیاز است.

### منابع

1. Abdalla M.A., Ali N.A., Zoheir Kh M.A. 2017. *Moringa oleifera Root Induces Cancer Apoptosis More Effectively than Leave Nanocomposites and Its Free Counterpart. Asian Pacific Journal of Cancer Prevention.* 1(8): 2141-2149.
2. Ambs S., Merriam W.G., Bennett W.P., Felley-Bosco E., Ogunfusika M.O., Harris C.C. 1998. Frequent nitric oxide synthase-2 expression in human colon adenomas: implication for tumor angiogenesis and colon cancer progression. *Cancer Research.* 58(2): 334-41.
3. Balogh J., Victor D., Asham E.H., Burroughs Sh., Boktour M., Monsour H P. 2016. Hepatocellular carcinoma: a review. *Journal of Hepatocellular Carcinoma,* 3: 41-53.
4. Bava S.V., Vineshkumar T., Anto R.J. 2005. Sensitization of taxol-induced apoptosis by curcumin involves down-regulation of nuclear factor-κB and the serine/threonine kinase Akt and is independent of tubulin polymerization. *Journal of Biological Chemistry.* 280(8): p. 6301-6308.

آپوپتوز را در سرطان‌های مختلف مانند سلول‌های سرطانی معده افزایش دهد (۱۹).

همانطور که قبلاً ذکر شد، بیان برخی از ژن‌های مرتبط با NF-κB در پژوهش ما مورد بررسی قرار گرفت. یافته‌های ما نشان داد که انسانس سیلیبیوم ماراینوم به تنهایی و در ترکیب با ۵-FU قادر به کاهش بیان total NF κB (p65) و phospho-NF-κB (p65) در سطح پروتئین در سلول‌های HepG2 می‌باشد. در بسیاری از سرطان‌ها از جمله سرطان سلول‌های کبدی التهاب مزمن نقش بسیار مهمی را بازی می‌کند و از طریق تحریک بسیاری از مسیرها میتواند در پیشرفت تومور کمک کننده باشد. یکی از فاکتورهای بسیار مهمی که رابط بین سرطان و التهاب است NF-κB می‌باشد و از طریق القاء تکثیر و جلوگیری از آپوپتوز نقش مهمی در پیشرفت سرطان کبد ایفا می‌کند (۱۶). مانا و همکارانش در مطالعه ای تاثیر سیلیمارین بر فعال شدن NF-κB را که توسط عوامل مختلف التهابی ایجاد شده بود، ارزیابی کردند (۲۶). آنها نشان دادند که سیلیمارین می‌تواند فعال شدن NF-κB ناشی از TNF فسفوریلاسیون و تجزیه Total kappa B alpha عمل می‌کند منجر به این عنوان مهار کننده NF-κB می‌تواند شود. علاوه بر این، نشان داده شده است که انتقال p65 به هسته بدون تأثیر بر توانایی‌های مربوط به اتصال به DNA توسط سیلیمارین مهار می‌گردد. رونویسی ژن گزارشگر وابسته به NF-κB را می‌توان با سیلیمارین مهار کرد. محققان نشان دادند که فعال سازی NF-κB که توسط عواملی مانند LPS، فوربول استر، سرامید، اوکادائیک اسید صورت می‌گیرد می‌تواند توسط سیلیمارین مهار شود. تاثیرات سیلیمارین بر فعال شدن NF-κB اختصاصی است زیرا فعال شدن AP-1 متأثر نشده است. از این رو،

13. Fukuda K., Taniguchi H., Koh T., Kunishima S., Yamagishi H. 2004. Relationships between oxygen and glucose metabolism in human liver tumours: positron emission tomography using <sup>(15)O</sup> and <sup>(18)F</sup>-deoxyglucose. *Nuclear Medicine Communications.* 25(6): 577-83.
14. Gallo D., Giacomelli S., Ferlini C., Raspaglio G., Apollonio P., Prislei C., Riva A., Morazzoni P., Bombardelli E., Scambia G. 2003. Antitumour activity of the silybin-phosphatidylcholine complex, IdB 1016, against human ovarian cancer. *Eur J Cancer.* 39(16): 2403-2410.
15. Guarino, M., Rubino B., Ballabio G. 2003. The role of epithelial-mesenchymal transition in cancer pathology. *European Journal of Cancer.* 39(3): 305-18.
16. He M., Zhang W., Dong Y., Wang L., Fang T., Tang W., Lv B., Chen G., Yang B., Huang P., Xia J. 2017. Pro-inflammation NF-κB signaling triggers a positive feedback via enhancing cholesterol accumulation in liver cancer cells. *Journal of Experimental and Clinical Cancer Research.* 36(1):15.
17. Jiang C., Agarwal R., Lü J. 2000. Anti-angiogenic potential of a cancer chemopreventive flavonoid antioxidant, silymarin: inhibition of key attributes of vascular endothelial cells and angiogenic cytokine secretion by cancer epithelial cells. *Biochemical and Biophysical Research Communications.* 276(1): 371-8.
18. Jiang K., Wang W., Jin X., Wang Zh., Ji Zh., Meng G. 2015. Silibinin, a natural flavonoid, induces autophagy via ROS-dependent mitochondrial dysfunction and loss of ATP involving BNIP3 in human MCF7 breast cancer cells. *Oncology Reports.* 33(6): 2711-2718.
19. Kauntz H., Bousserouel S., Gosse F., Marescaux J., Raul F. 2012. Silibinin, a natural flavonoid, modulates the early expression of chemoprevention biomarkers in a preclinical model of colon carcinogenesis. *International Journal of Oncology.* 41(3): 849-54.
5. Aykanat N.E., Kacar S., Karakaya S., Shahinturk V. 2020. Silymarin suppresses HepG2 hepatocarcinoma cell progression through downregulation of Slit-2/Robo-1 pathway. *Pharmacological Reports.* 72(1): 199-207.
6. Cadigan, K.M. 2002. Wnt signaling--20 years and counting. *Trends in Genetics.* 18(7): p. 340-2.
7. Chuang S., Yeh P.P., Lu Y.S., Lai G.M., Liao C.M., Gao M., Cheng A.L. 2002. Basal levels and patterns of anticancer drug-induced activation of nuclear factor-κB (NF-κB), and its attenuation by tamoxifen, dexamethasone, and curcumin in carcinoma cells. *Biochemical pharmacology,* 63(9): 1709-1716.
8. Clevers H. 2006. Wnt/beta-catenin signaling in development and disease. *Cell,* 2006. 127(3): 469-480.
9. Ally A., Laird P.W. 2017. Comprehensive and Integrative Genomic Characterization of Hepatocellular Carcinoma. *Cell,* 169(7): 1327-1341.
10. Cuffí S., Bonavia R., Vazquez-Martin A., Corominas-Faja B., Micol V., Menendez J.A. 2013. Silibinin meglumine, a water-soluble form of milk thistle silymarin, is an orally active anti-cancer agent that impedes the epithelial-to-mesenchymal transition (EMT) in EGFR-mutant non-small-cell lung carcinoma cells. *Food and Chemical Toxicology.* 60: 360-368.
11. Cui, J., Gong Z., Shen H.M. 2013. The role of autophagy in liver cancer: molecular mechanisms and potential therapeutic targets. *Biochimica et Biophysica Acta.* 1836(1): 15-26.
12. Deep G., Gangar S.C., Rajamanickam S., Raina K., Gu M., Agarwal C., Oberlies N.H., Agarwal R. 2012. Angiopreventive efficacy of pure flavonolignans from milk thistle extract against prostate cancer: targeting VEGF-VEGFR signaling. *PLoS One.* 7(4): e34630.

- British Journal of Radiology.* 87(1035): 20130676.
29. Mekuria A., Abdi A. 2017. Potential molecular targets and drugs for treatment of hepatocellular carcinoma. *Journal of Cancer Science and Therapy.* 9: 736-45.
30. Mohammadi-Bardbori, A., Nejati M., Esmaeili J., Ghafari H., Ghazi-Khansari M. 2008. Comparative measurement of in vitro paraquat and aflatoxin B1 cytotoxicity using three different cytotoxicity assays in pheochromocytoma cells (PC-12). *Toxicology Mechanisms and Methods.* 18(9): 685-689.
31. Shirabe K., Sugimachi K., Maehara Y. 2015. Review of angiogenesis in hepatocellular carcinoma. *Hepatology Research.* 45(1): 1-9.
32. Öztürk B., Kocaoğlu E.H., Durak Z.E. 2015. Effects of aqueous extract from Silybum marianum on adenosine deaminase activity in cancerous and noncancerous human gastric and colon tissues. *Pharmacognosy Magazine.* 11(41): 143-146.
33. Pang R. Poon R.T. 2006. Angiogenesis and antiangiogenic therapy in hepatocellular carcinoma. *Cancer Letters.* 242(2): 151-67.
34. Patil M.A., Lee S.A., Macias E., Lam E.T., Chen X. 2009. Role of cyclin D1 as a mediator of c-Met- and beta-catenin-induced hepatocarcinogenesis. *Cancer Research.* 69(1): 253-261.
35. Ramakrishnan G., Elinos-Báez C.M., JaganS., Augustine TA., Kamaraj S., Anandakumar P., Devaki T. 2008. Silymarin downregulates COX-2 expression and attenuates hyperlipidemia during NDEA-induced rat hepatocellular carcinoma. *Molecular and Cellular Biochemistry.* 313(1-2): 53-61.
36. Riedl C.C., Brader P., Zanzonico P.B., Chun Y Sh., Fong Y. 2008. Imaging hypoxia in orthotopic rat liver tumors with iodine 124-labeled iodoazomycin
20. Khalaf A.M., Fuentes D., Morshid A.I., Burke M.R., Kaseb A.O., Hassan M., Hazle J.D., Elsayes K.M. 2018. Role of Wnt/β-catenin signaling in hepatocellular carcinoma, pathogenesis, and clinical significance. *Journal of Hepatocellular Carcinoma.* 5: 61-73.
21. Kim K.R., Moon H.E., Kim K.W. 2002. Hypoxia-induced angiogenesis in human hepatocellular carcinoma. *Journal of molecular medicine.* 80(11): 703-714.
22. Li L.Y., Xu T. 2019. ZEB1 regulates the activation of hepatic stellate cells through Wnt/β-catenin signaling pathway. *European Journal of Pharmacology.* 865: 172787.
23. Liu K., Min X., Peng J., Yang K., Yang L., Zhang X. 2016. The Changes of HIF-1α and VEGF Expression After TACE in Patients With Hepatocellular Carcinoma. *Journal of Clinical Medicine Research.* 8(4): 297-302.
24. Liu L., Xie S., Chen Y., Xue J., Zhang C., Zhu F. 2016. Aberrant regulation of Wnt signaling in hepatocellular carcinoma. *World Journal of Gastroenterology.* 22(33): 7486-99.
25. Lu L., Shao Y., Lee Y., Hsieh M., Cheng A., Hsu Ch. 2014. β-catenin (CTNNB1) mutations are not associated with prognosis in advanced hepatocellular carcinoma. *Oncology.* 87(3): 159-66.
26. Manna S.K., Mukhopadhyay A., Van N T., Aggarwal B.B., 1999. Silymarin suppresses TNF-induced activation of NF-kappa B, c-Jun N-terminal kinase, and apoptosis. *Journal of Immunology.* 163(12): 6800-6809.
27. Mastron J.K., Siveen K.S., Sethi G., Bishayee A. 2015. Silymarin and hepatocellular carcinoma: a systematic, comprehensive, and critical review. *Anticancer Drugs.* 26(5): 475-86.
28. McKeown S. 2014. Defining normoxia, physoxia and hypoxia in tumours-implications for treatment response. *The*

42. Williams, C.S., Tsujii M., Reese J., Dey S.K., DuBois R.N. 2000. Host cyclooxygenase-2 modulates carcinoma growth. *Journal of Clinical Investigation*, 105(11): 1589-94.
43. Wu, K., Wu K., Ning Zh., Zeng J., Fan J., Wang X., He D. 2013. Silibinin inhibits  $\beta$ -catenin/ZEB1 signaling and suppresses bladder cancer metastasis via dual-blocking epithelial-mesenchymal transition and stemness. *Cell Signaling Technology*, 25(12): 2625-33.
44. Xiong, X.X., Qiu X.Y., Hu D.X., Chen X.Q. 2017., Advances in Hypoxia-Mediated Mechanisms in Hepatocellular Carcinoma. *Molecular Pharmacology*, 92(3): 246-255.
45. Xu T., Guo P., Pi Ch., He Y., Wei Y., Zhao L. 2020. Synergistic Effects of Curcumin and 5-Fluorouracil on the Hepatocellular Carcinoma In vivo and vitro through regulating the expression of COX-2 and NF- $\kappa$ B. *J Cancer*, 11(13): 3955-3964.
46. Yang, Z.F., Poon R.T. 2008. carcinoma. *Anat Rec (Hoboken)*, 291(6): 721-34.
47. Zhu B., Lin N., Zhang M., Zhu Y., Cheng H., Chen Sh., Ling Y., Pan W., Xu R. 2015. Activated hepatic stellate cells promote angiogenesis via interleukin-8 in hepatocellular carcinoma. *Journal of Translational Medicine*, 13: 365.
- galactopyranoside PET. *Radiology*. 248(2): 561-570.
37. Zhurinsky J., Simcha I., Albanese C., D'Amico M., Pestell R., Ben-Ze'ev A. 1999. The cyclin D1 gene is a target of the beta-catenin/LEF-1 pathway. *Proceedings of the National Academy of Sciences of the United States of America*, 96(10): 5522-5527.
38. Tetsu, O. McCormick F. 1999. Beta-catenin regulates expression of cyclin D1 in colon carcinoma cells. *Nature*, 398(6726): 422-6.
39. Tsujii, M., Kawano S., Tsuji S., Sawaoka H., Hori M., DuBois R.N. 1998. Cyclooxygenase regulates angiogenesis induced by colon cancer cells. *Cell*, 93(5): 705-16.
40. Cramer T, Höcker M, Finkenzeller G, Wiedenmann B, Rosewicz S. 2001. Dual mechanism of vascular endothelial growth factor upregulation by hypoxia in human hepatocellular carcinoma. *Gut*, 48(1): 87-96.
41. Wang H., Zhang J., Feng W., Zhang S., Liang H., Wang Y., Zheng Q., Li Z. 2007. PIN1 gene overexpression and beta-catenin gene mutation/expression in hepatocellular carcinoma and their significance. *Journal of Huazhong University of Science and Technology Medical sciences*, 27(1): 54-7.

## Anti-tumor Effects of *Silybum Marianum* Essential Oil and 5-fluorouracil Combination on Hepatocellular Carcinoma Cells (HepG2)

Mohammad Jaber Masoud Khooy<sup>1</sup>, Mohammadreza Salehi Salmi<sup>2</sup>, Massoumeh Farasat<sup>1</sup>, Hamed Mirzaei<sup>3\*</sup>

1 .Department of Horticulture, Ahvaz Islamic Azad University, Science and Research Branch, Ahvaz, Iran

2 .Visiting Professor, Department of Horticulture, Ahvaz Branch, Islamic Azad University, Ahvaz, Iran  
and Faculty Member, Department of Horticulture, Faculty of Agriculture, Khuzestan University of Agricultural Sciences and Natural Resources, Ahvaz, Iran

3 .Visiting Professor, Department of Horticulture, Ahvaz Branch, Islamic Azad University, Ahvaz, Iran  
and Faculty Member of Biochemistry and Nutrition Research Center in Metabolic Diseases, Kashan  
University of Medical Sciences, Kashan, Iran

### Abstract

The present study evaluated the efficacy of combining 5-fluorouracil (5-FU) and *Silybum marianum* essential oils to suppress *in vitro* Hepatocellular carcinoma (HCC) growth by influencing the Wnt, NF-κB, angiogenesis, apoptosis, and autophagy pathways. *Silybum marianum* essential oils were studied alone and in combination with 5-FU in the HepG2 cell-line. The expression of NF-κB and Wnt signaling pathway genes as well as angiogenesis, apoptosis, and autophagy-associated genes and proteins were evaluated using Western blot and qRT-PCR techniques. Each treatment decreased the viability of HepG2 cells compared to the control group. Moreover, *S. marianum* essential oils from Khuzestan or Isfahan (Sm-K and Sm-I) in combination with 5-FU reduced the migration and invasion of HepG2 cells. Angiogenesis-related proteins *i.e.* VEGF, COX-2, Bfgf, and HIF-1α were significantly reduced. Apoptosis- and autophagy-related proteins *i.e.* caspase-8, Bax, Bcl-2, Beclin-1, LC3-I, and LC3-II were modulated by each treatment. Each treatment decreased total NF-κB (p65) and phospho-NF-κB (p65) at protein levels. Moreover, the expression levels of Wnt pathway-related genes were decreased. Taken together, these findings revealed that *S. marianum*, either alone or in combination with 5-Fu, could exert anti-tumor effects *via* modulating autophagy, apoptosis, angiogenesis, NF-κB, and Wnt signaling pathways.

**Keywords:** Angiogenesis; Hepatocellular Carcinoma; *Silybum Marianum* Essential Oil; 5-fluorouracil; Combination Therapy